

Maxwells likninger sammen med Lorentz-kraften:

$\vec{F} = q (\vec{E} + \vec{v} \times \vec{B})$  utgjør sammen alle fundamentale relasjoner i elektromagnetisme.

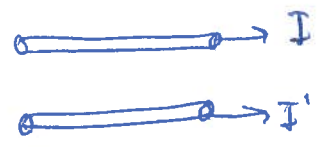
## KAPITTEL 30: INDUKTANS

- Læringsmål:
- Forstå relasjonen mellom tidsavhengige strømmer og induerte EM'er.
  - Kunne beregne energi lagret i et  $\vec{B}$ -felt.
  - Kunne analysere kretser som inkluderer både resistorer og induktorer.

Noen gang lurt på hvordan trafikklys kan vite når de skal endres fordi en bil har ankermet krysset? Svart får du vite fysikken bak dette.

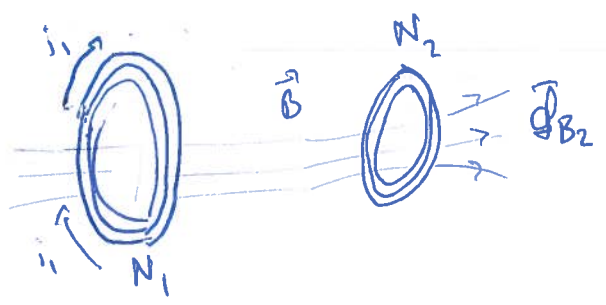
# Gjensidig induktans

Så tidligere at oppsettet med konstante strømmer ga opphav til en vrv. mellom ledene pga. mag. krefter.



Ytterligere vrv. dersom vi har en tidsavhengig strøm  $i = i(t)$ .

Betrakt to strøm spoler med flere viklinger:



En strøm  $i_1$  i spole 1 fører til en mag. flukes gjennom spole 2.

Dersom  $i_1$  endrer seg med tiden, induiseres en EMS i spole 2 pga. Faradays lov  $\Rightarrow$   $i_1$  inducerer en strøm  $i_2$ .

Mer kvantitativt: det mag. feltet  $\vec{B}$  produsert av spole 1 er prop. med  $i_1 \Rightarrow \Phi_{B2} \propto i_1$ . Vet at induert EMS er

$$\mathcal{E}_2 = -N_2 \frac{d\Phi_{B2}}{dt} \quad \text{La oss skrive proporsjonaliteten mellom}$$

$\Phi_{B2}$  og  $i_1$  via en konstant  $M_{21}$  definert ved  $N_2 \Phi_{B2} \equiv M_{21} i_1$ .

# $M_{21}$ : gjensidig induktans

$$\Rightarrow \mathcal{E}_2 = -M_{21} \cdot \frac{di_1}{dt} \quad \text{Med andre ord: industert EMS i spole 2}$$

er direkte prop. med endringsraten av  $i_1$ .

$M_{21}$  avhenger av flere aspekt: størrelsen, formen, antall viklinger, orientering og separasjon av spolene  $\Rightarrow$  geometriavhengig.

Grunnen til "gjensidig" induktans: gjenta samme argument med ombyttede roller for spole 1 og 2 gir  $N_1 \mathcal{D}_{B1} = M_{12} i_2$ .

Et eksperiment viser at  $M_{21} = M_{12}$  selv om spolene er forskjellige - kaller derfor dette gjensidig induktans  $M$ . Vi har altså:

$$\mathcal{E}_1 = -M \frac{di_2}{dt} \quad \text{og} \quad \mathcal{E}_2 = -M \frac{di_1}{dt}$$
$$\text{hvor } M = \frac{N_2 \mathcal{D}_{B2}}{i_1} = \frac{N_1 \mathcal{D}_{B1}}{i_2}$$

Minustegn pga. Lenz lov: motvirker endringen.

$[M] = 1 \text{ H (henry)}$ . Har at

$$1 \text{ H} = \frac{1 \text{ Wb}}{\text{A}} = \frac{1 \text{ V} \cdot \text{s}}{\text{A}} = 1 \text{ V} \cdot \text{s} / \text{A}$$

Typiske verdier vi jobber med:  $M \sim 10^{-4} - 10^{-6} \text{ H}$ .

## Fordel / ulempe

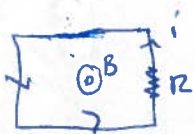
- : problem i el. kretser, da strømvariasjon i en del av kretsen kan induisere strøm (uønsket) i en annen del. Redusere problemet ved å la planene strømsløvferne ligger i røre  $\perp$ .



+ : kan utnytte induktanseffekten f.eks. i en transformator som brukes til å øke/senke spenninger. Strøm  $i_1$  induiserer EMS i spole 2 som dermed modifierer netto spenningsforskjell i den delen av kretsen.

## Selvinduktans og induktorer

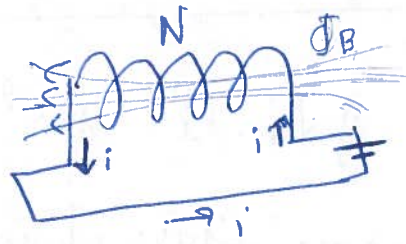
Trenger ikke en gang å betrakte to separate ledere/kretser for å diskutere induktans: det er tilstrekkelig med én, isolert krets.



Strømmen  $i$  skaper et  $\vec{B}$ -felt som gir en flukes gjennom samme krets og dermed vil  $i = i(t)$  induisere en EMS: selvindusert EMS.

Lyden betyr at den induiserte EMSen endringen i  $i(t) \Rightarrow$  vanskeliggere å endre strøm.

Effekten blir forsterket dersom vi har en spole med  $N$  viklinger



Slik vi har utledet i forrige seksjon, er selv-induktansen

$$L \equiv \frac{N \cdot \Phi_B}{i} \quad (\text{konstant siden } \Phi_B \propto i).$$

hvor  $\Phi_B$  er fluksen gjennom én vikling.

Det følger at  $N \cdot \frac{d\Phi_B}{dt} = L \cdot \frac{di}{dt} \Rightarrow$  induert EMS er

$$\underline{\varepsilon = -L \cdot \frac{di}{dt}}$$

### Induktanser som kretskomponenter

Kretskomponent designet spesifikt for å ha en bestemt induktans:

— e e e e e — : induktor.

Kan inkluderes for å motvirke flukturasjoner i strømmen og er sentrale deler av moderne elektronikk.



Har tidligere brukt Kirchhoffs lover for å analysere kretser:  
 strøm bevarst i alle forgreningspkt. og totalt spenningsfall  
 over en lukket sløyfe må være null. Sistnevnte følger av  
 den konservative naturen til  $\vec{E}$  i kretsene vi har sett på  
 tidligere.

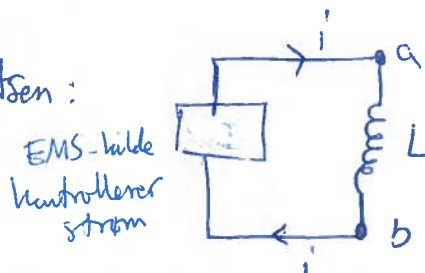
Men - nå har vi sett at mag. induerte  $\vec{E}$ -felt ikke er konservative.

År hvordan modifieres Kirchhoffs loop-regel da?

Anta at vi har å gjøre med en induktor med neglisjerbar  $R$ .

Kreeres reelig svakt  $\vec{E}$ -felt for å beregne ladninger gjennom  
 induktoren  $\rightarrow \vec{E}_c + \vec{E}_n \approx 0$  ( $\vec{E}_n$ : ikke-konservativ del av felt).

~~...~~ Betrakt nå kretsen:



Faradays lov gir oss:

$$\oint \vec{B}_n \cdot d\vec{l} = -L \frac{di}{dt} = \mathcal{E}(t) \text{ i følge det vi nettopp har utledet (har integrert i retning med klokken).}$$

$\mathcal{E}(t)$  er selvindusert EMS.

~~...~~

Men  $\vec{B}_n \neq 0$  kun i induktoren, så vi kan la  $\oint \vec{B}_n \cdot d\vec{l} \rightarrow \int_a^b \vec{B}_n \cdot d\vec{l}$ .

Se rettferdiggjørelse her



Siden vi har argumentert at  $\vec{E}_1 \neq -\vec{E}_c$  i induktoren, får vi:

$$\int_a^b \vec{E}_c \cdot d\vec{l} = L \cdot \frac{di}{dt}. \quad \text{Men} \quad \int_a^b \vec{E} \cdot d\vec{l} = V_{ab} = V_a - V_b$$

Siden et kons.  $\vec{E}$ -felt kan skrives som gradient til et potensiale,

Konklusjon:  $V_a - V_b = L \cdot \frac{di}{dt} \Rightarrow$  det eksisterer et genuint

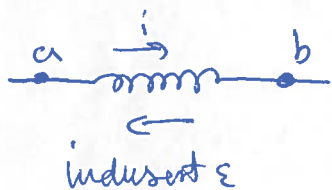
spenningsfall over induktoren som vi kan inkludere

på vanlig vis i Kirchhoffs regel (allikevel som  $I \cdot R$  er

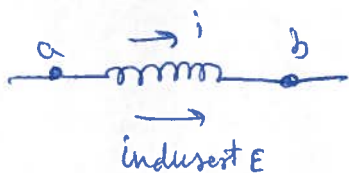
spenningsfall over en  $R$ ).



$$V_{ab} = iR > 0$$



$$\frac{di}{dt} > 0 \text{ (i øker)} \Rightarrow V_{ab} = L \cdot \frac{di}{dt} > 0$$



$$\frac{di}{dt} < 0 \text{ (i minsker)} \Rightarrow V_{ab} = L \cdot \frac{di}{dt} < 0$$

**M**: induktans.pdf

### Energi i magnetisk felt

På grunn av at en induktor motvirker endringer i strøm, krefter det energi å etablere en strøm i en induktor. Denne energien er lagret i induktoren når strømmen er etablert (og blitt konstant).

La oss se hvordan.

En økende strøm etablerer en  $\mathcal{E}$  og en tilhørende pot. forskjell  $V_{ab}$ . Siden en ladet partikkel som beveger seg gjennom induktoren derfor taper pot.-energi ( $V_{ab} > 0$  for  $\frac{di}{dt} > 0$ ),

mer energi overføres til induktoren

med en rate  $P = V_{ab} \cdot i$ . Vi kan beregne hvor mye energi

$U$  som kreves for å skape en konstant strøm  $I$  i en induktor

$L$  når  $i(t=0) = 0$ . Anta som før neglisjerbar motstand i  $L$ .

Strømmen øker fra  $i(t=0) = 0 \Rightarrow \frac{di}{dt} > 0$ . Momentan spenning

mellem a og b er  $V_{ab} = L \cdot \frac{di}{dt} \Rightarrow$  leverst effekt til

induktoren er  $P = V_{ab} \cdot i = L \cdot i \cdot \frac{di}{dt}$  (blir levert av kilden).

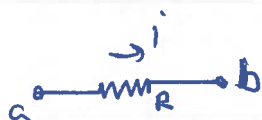
Siden  $P = \frac{dU}{dt}$  hvor  $dU$  er energien levert over et intervall  $dt$ :

$$dU = L \cdot i \cdot di \Rightarrow \boxed{U = L \int_0^I i di = \frac{1}{2} LI^2}$$

(Analogi:  
hend. har  
 $U = \frac{1}{2} cv^2$ )

Dette er lagret energi i en induktor når strøm øker fra 0 til  $I$ .

Skrur vi av strømmen ( $\frac{di}{dt} < 0$ ), leveres energien tilbake til kretsen via induisert EMS.



Energi går tapt i  $R$



Energi lagres i induktoren.



## Magnetisk energitæthed

Energi i kondensator  $C$ : lagret i  $\vec{E}$ -felt mellem plader.

Energi i induktor  $L$ : lagret i  $\vec{B}$ -felt i spolen.

På samme måde som vi tidligere udledt energitæthed for  $\vec{E}$ -felt,

Kan vi nu udlede det samme for  $\vec{B}$ -felt. Betragt en solenoide formet som en torus

→  $\vec{B}$ -felt  $\neq 0$  kun inne i spolen.



Fig. 30.8

Volumen er  $V = 2\pi r \cdot A$ .

Selv-induktans er  $L = \frac{N \cdot \oint \vec{B}}{i}$  og

felt i afstand  $r$  fra midten er (se eks. 28.10)  $B = \frac{\mu_0 N i}{2\pi r}$ .

Antag  $A$  liten nok til å negligjere variasjon av  $B$  innenfor  $A$ :

$$L = \frac{N \cdot B \cdot A}{i} = \frac{\mu_0 N^2 A}{2\pi r}. \quad \text{Når strømmen er } I, \text{ vet vi at}$$

lagret energi er:

$$U = \frac{1}{2} L I^2 = \frac{1}{2} \frac{\mu_0 N^2 A}{2\pi r} I^2.$$

→ energitæthed (siden  $\vec{B}$ -felt lokalisert i volumet  $V$ )  $u = \frac{U}{V}$ :

$$u = \frac{1}{2} \mu_0 \frac{N^2 I^2}{(2\pi r)^2}.$$

Siden vi så at  $B = \frac{\mu_0 NI}{2\pi r}$ :

$$U = \frac{B^2}{2\mu_0} \quad (\text{magnetisk energitetthet i vakuum}).$$

Analog med energitetthet i elektrisk felt:  $U_E = \frac{1}{2} \epsilon_0 E^2$   
utledet tidligere. Dersom mag. susc. i solenoiden ikke er  $\mu_0$ ,  
men  $\mu$  (f.eks. magnetisk materiale), lar vi  $\mu_0 \rightarrow \mu$ :

$$U = \frac{B^2}{2\mu} \quad (\text{mag. E-tetthet i et materiale})$$

Har kun utledet dette for en bestemt geometri, men et mer  
generelt bevis gir at dette er korrekt uttrykk for en vilkårlig  
mag. felt. konfigurasjon i et materiale. Total E lagret i  $\vec{B}$ -feltet  
er da:  $U = \iiint \frac{B^2}{2\mu} dV$  (f.eks. for vanlig varierende  $\vec{B}$ ).

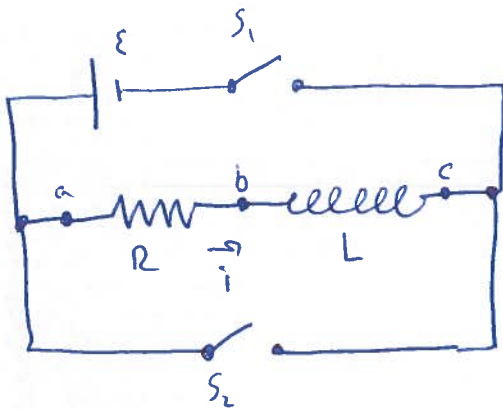
## R-L krets

La oss nå se hvordan strømmen kvantitativt oppfører seg i en  
krets med induktor  $L$ . Vet allerede at:

- Induktors magnetiske endringer i strømmen.

- Kan bruke Kirchhoffs lover med  $V_{ab} = L \cdot \frac{di}{dt}$  for induktor.

Inkluderer også  $R$  for å gjøre kretsen mer realistisk (har alltid noe resistans med mindre superleder). Betrakter følgende:



$S_1$  og  $S_2$  er brytere som er åpne til å begynne med.

Lukk  $S_1$ :  $R$  og  $L$  kobles til  $\varepsilon$  i serie.

Lukk  $S_2$  og åpne  $S_1$ :  $R$  og  $L$  kobles fra kilden  $\varepsilon$ .

La  $S_1$  lukkes ved  $t=0$ . Vel en gitt tid  $t > 0$  er da:

$V_{ab} = iR$  og  $V_{bc} = L \cdot \frac{di}{dt}$ . Kirchhoffs regel for spenning:

$$\varepsilon - iR - L \cdot \frac{di}{dt} = 0 \quad (\text{gikk mot klokken}).$$

$$\Rightarrow \frac{di}{dt} = \frac{\varepsilon - iR}{L} \quad \text{Siden } i(t=0) = 0 \Rightarrow \left. \frac{di}{dt} \right|_{t=0} = \frac{\varepsilon}{L}.$$

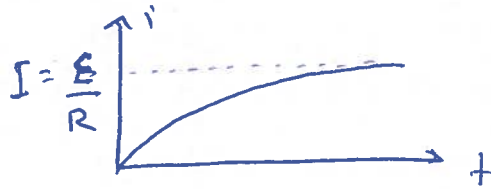
Strømmen øker så gradvis, men saktere og saktere pga. induktor, helt til  $\frac{di}{dt} = 0$  (konstant strøm). Når strømmen har nådd endelig

verdi  $I$  har vi:

$$\left. \frac{di}{dt} \right|_{t \rightarrow \infty} = 0 = \frac{\varepsilon}{L} - \frac{R \cdot I}{L} \Rightarrow I = \frac{\varepsilon}{R}.$$

Kan ikke ha  $i(t=0) = I$  (som for RC-krets), siden det ikke gitt  $\frac{di}{dt} \rightarrow \infty$  og umulig å oppfylle Kirchhoffs ~~lov~~ lov om spenning.

Merksomheten sluttstrøm er uavhengig av  $L$ . Forventes altså en oppførsel av typen:



Kan utlede eksakt uttrykk for  $i(t)$ . Her at  $\frac{di}{dt} = \frac{\mathcal{E} - iR}{L}$  som

skilles om til  $\frac{di}{i - \frac{\mathcal{E}}{R}} = -\frac{R}{L} dt$ . Her separert variablene  $i$  og  $t$  og kan dermed integrere på begge sider.

$$\int_0^i \frac{di'}{i' - \frac{\mathcal{E}}{R}} = - \int_0^t \frac{R}{L} dt' \Rightarrow \ln \left[ \frac{i - \mathcal{E}/R}{-\mathcal{E}/R} \right] = -\frac{R}{L} t$$

Skilles om til  $i = \frac{\mathcal{E}}{R} (1 - e^{-Rt/L})$  (strøm i en  $R$ - $L$  krets med EMS  $\mathcal{E}$ )

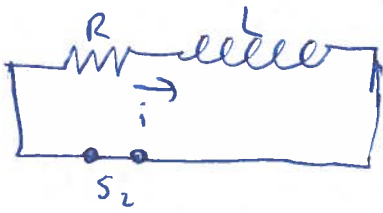
Dette stemmer godt overens med kurven vi tegnet. Ser at  $\frac{L}{R}$  er et mål på hvor raskt strømmen bygger seg opp mot endelig verdi.

Definerer tidskonstanten  $\tau \equiv \frac{L}{R}$ .  
 Stor  $\tau$ : strøm bruker lang tid på å nå  $I$   
 Liten  $\tau$ : -u- kort tid.

Analogi med tidskonstant  $\tau = RC$  assosiert med lading av kond.  $C$ .

Anta nå at strømmen har nådd verdien  $I$ . Vi lukker nå

bryter  $S_2$  og åpner samtidig  $S_1$  for å umgå krets slutning:

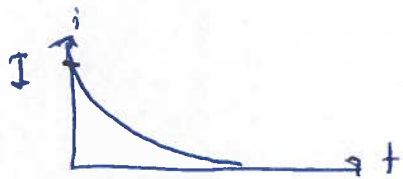


Strømmen burde nå anta gradvis, akkurat som den tiltok gradvis. La oss redetere  $t=0$  til øyeblikket  $S_2$  lukkes.

$$i(t=0) = I. \text{ Nå har vi at } -iR - L \cdot \frac{di}{dt} = 0 \quad (\varepsilon=0).$$

$$\Rightarrow \text{Samme analyse som før gir: } \int_I^i \frac{di'}{i'} = - \int_0^t \frac{R}{L} dt'$$

$$\ln \left( \frac{i}{I} \right) = - \frac{R}{L} \cdot t \Rightarrow \underline{i(t) = I e^{-R \cdot t / L}} = \underline{I e^{-t/\tau}}$$



Hvor kommer energien som driver strømmen fra? (spør klasse)  $\Rightarrow$  induktoren har lagret energi under oppladning som nå

driver strømmen. Induktoren mister energi like raskt som energi dissiperes i  $R$  pga. energibevarelse. Ser dette ved

å multiplisere K. lev med  $i$ :

$$0 = \underbrace{i^2 R}_{\text{Effekt for energitap i R}} + L \cdot \underbrace{i \frac{di}{dt}}_{\text{Effekt for energi levert av L.}}$$



# EKSEMPEL

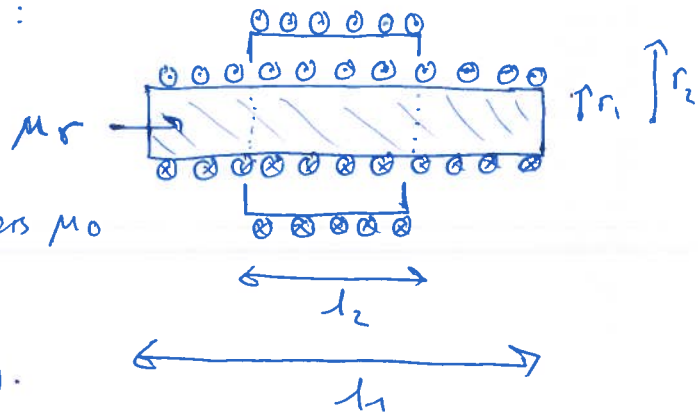
(oppg. 7, eks. 2013)

[slutteks. kap. 30]

Solenoid 1:  $r_1 = 1 \text{ cm}$ , lengde  $l_1 = 10 \text{ cm}$ ,  $N_1 = 500$  viklinger jevnt fordelt.

Solenoid 2:  $r_2 = 1.5 \text{ cm}$ ,  $l_2 = 4 \text{ cm}$ ,  $N_2 = 300$  viklinger — — .

Felles sentralakse som vist i figuren:



Indre solenoid fylt med jern:

$$\mu_r = 2400.$$

Anta  $\vec{B} = 0$  utenfor solenoidene (forenkling).

Finn gjensidig induktans mellom solenoidene.

Løsning Mag. fluks inne i lang, tynn solenoid #1 er:

$$\Phi_B = B \cdot A = \underbrace{\mu_r \mu_0}_{\text{jevnt}} \frac{N_1}{l_1} I_1 \pi r_1^2$$

Siden vi antar  $B = 0$  utenfor solenoidene, erfarer #2 en fluks  $\Phi_B$  fra #1. Faraday's lov gir da:

$$\mathcal{E}_{21} = -N_2 \cdot \dot{\Phi}_B = -N_2 \mu_r \mu_0 \frac{N_1}{l_1} \dot{I}_1 \pi r_1^2 \quad (\text{kun } I_1 \text{ kan variere med tiden})$$

$$\text{Gjensidig induktans definert ved } M = \frac{-\dot{\Phi}_1}{\mathcal{E}_{21}} \quad (\mathcal{E}_{21} = -M \cdot \dot{I}_1) \text{ stikk ut}$$

$$M = \frac{N_2 N_1}{l_1} \cdot \mu_r \mu_0 \cdot \pi r_1^2 = 1.42 \text{ H}$$

Radien  $r_2$  spiller ingen rolle - men i praksis gjør den det, siden  $\Phi_B$  blir modifisert av B-feltet skapt av #1 utenfor #1  $\Rightarrow M$  avtar med økende  $r_2$  siden mer B-felt inkluderes i motsatt retning av B-felt inni #1.

# KAPITTEL 31: VÆKSELSTRØMMER

## Læringsmål:

- Forstå hvordan visere giver beskrivelsen af størrelser som varierer harmonisk ( $\sin/\cos$ ) enhed
- Forstå rollen til reaktans og impedans i AC-kretser.
- Kunne analysere en RLC-krets med sinusoidal EMS og forstå rollen til frekvensen til kilden.

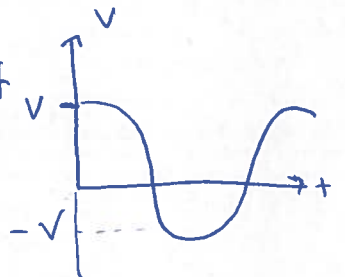
Næsten alle elektriske installationer i et hjem bruger vekselstrøm  
→ vi lærer om hvordan AC kretser fungerer.

## Visere og AC strømmer

Vi bruger begrebet AC kilde for en installation som producerer en sinusoidalt varierende spænding  $v$  eller strøm  $i$  med tiden  $t$ .

Symbol 

For eksempel:  $v = V \cos \omega t$



varierer med vinkel frekvens  $\omega = 2\pi f$  ( $f = \text{frekvens}$ )

USA/Canada: Kommersielle distribusjonssystem av elektrisitet bruker  $f = 60 \text{ Hz}$ .

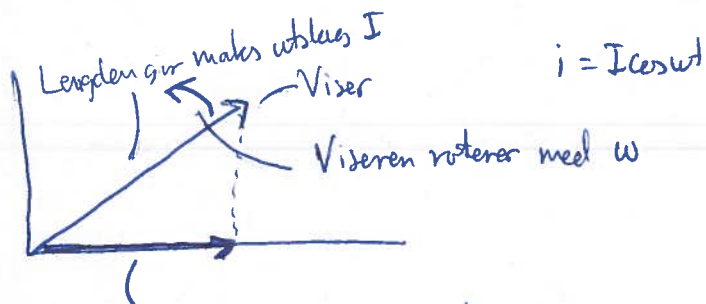
Stort sett overalt ellers:  $f = 50 \text{ Hz}$ .

Hvorfor AC i hus?

For å kunne transformere høy spenning til lav spenning (innretning i hus) via Faradays lov.

Viserdiagram

Brukes en geometrisk størrelse kalt viser til å representere AC  $v$  og  $i$ :



Projeksjonen av viseren på x-aksen gir instantan strøm ved tid  $t$ .

Dette er nært knyttet til komplekse notasjon hvor vi kan representere

f.eks. en spenning som  $v = V e^{i\omega t}$  (komplekst tall) og at realdel spenning ved  $t$  er  $\text{Re} \{ V e^{i\omega t} \}$ .

Et vanlig mål på AC størrelser er RMS-verdien (root-mean-square).

Anta at du begynner med  $i = I \cos \omega t$ .

• Square.  $i^2 = I^2 \cos^2 \omega t$

• Mean. Bruk at  $\cos^2 x = \frac{1}{2}(1 + \cos 2x) \rightarrow i^2 = \frac{1}{2}I^2 + \frac{1}{2}I^2 \cos 2\omega t$ .  
Middelverdi til  $\cos 2\omega t$  er 0 (like mye positiv som negativ).  
Dermed:  $\langle \cos 2\omega t \rangle = 0$ ,  $\langle i^2 \rangle = \frac{1}{2}I^2$ .

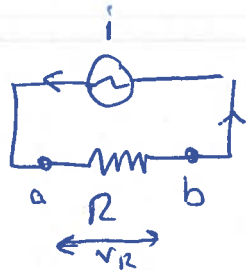
• Root.  $I_{\text{RMS}} = \sqrt{\langle i^2 \rangle} = \underline{\underline{\frac{I}{\sqrt{2}}}}$

Samme sak for spenning:  $V_{rms} = \frac{V}{\sqrt{2}}$ .

## Resistans og reaktans

Vi vil nå se på hvordan spenning og strøm relateres til hverandre for AC kilder i kretser med ulike typer elementer.

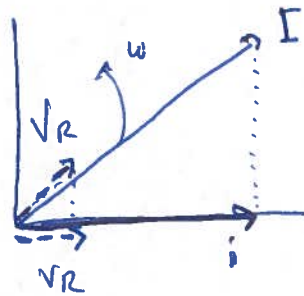
### Resistor



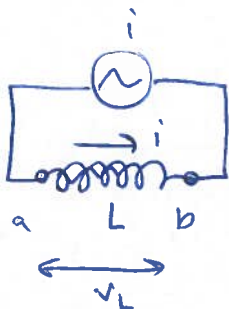
$$i = I \cos(\omega t)$$

Ohm's lov:  $V_{ab} \equiv V_R = iR \Rightarrow V_R = V_R \cos(\omega t)$  hvor  $V_R = IR$ .

Strøm og spenning er i fase:



### Induktør



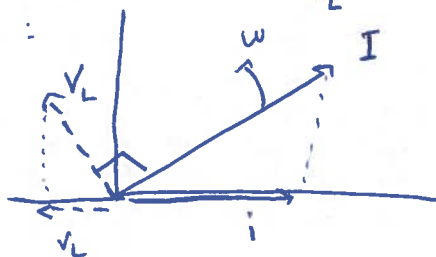
L inkluderer en EMS som vi har sett sørges for et spenningsfall

$$V_L = \frac{di}{dt} \cdot L \text{ mellom } a \text{ og } b.$$

(Spenning (potential) er assosiert med konservativ del av  $\vec{E}$ : gir ikke mening for ikke-kons.-del.)

Da får vi at  $V_L = L \frac{di}{dt} = L \cdot \frac{d(I \cos \omega t)}{dt} = -I \omega L \sin \omega t$

Kan skrives om til  $V_L = I \omega L \cos(\omega t + 90^\circ) \Rightarrow$  strøm og spenning er ute av fase:



$\phi$  definerer fasevinkelen  $\phi$  som fasen til  $V$  relativt  $i$ .

$i = I \cos(\omega t)$  og  $v = V \cos(\omega t + \phi)$ .

Selv om strøm og spenning er ute av fase, og dermed ikke direkte prop., kan vi definere forholdet mellom amplitudene deres:

deres:

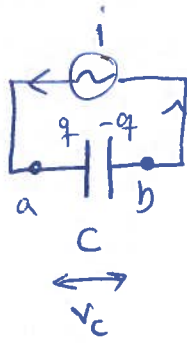
Induktiv reaktans  $X_L = \omega L = \frac{V_L}{I}$

Enhet  $\Omega$  siden den er  $\frac{V}{I}$ . Fysisk betydning: sier noe om størrelsen på induisert EMS og spenning  $\rightarrow$  raskere endring (stør  $\omega$ ), stør  $\varepsilon$  og  $V$ . Kan da brukes til å separere høy- og lavfrekvenssignaler siden en variabel  $v = V \cos(\omega t)$  da gir opphav til liten eller stor strøm ( $\Rightarrow$  høyfrekvens-signaler blir blokkert).

(sett på gitt  $V_L$ : se hva slags strøm som kommer ut)



## Kondensator

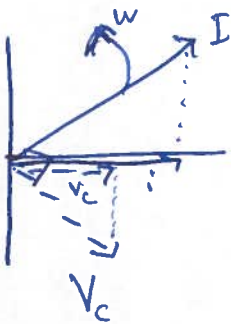


$$\text{Vest at } i = \frac{dq}{dt} = I \cos \omega t$$

$$\Rightarrow q = \frac{I}{\omega} \sin \omega t.$$

Instantant spenning over  $C$  er:  $V_c = \frac{q}{C} = \frac{I}{\omega C} \sin \omega t.$

Kan skrives som  $V_c = \frac{I}{\omega C} \cos(\omega t - 90^\circ) \Rightarrow$  fasevinkel  $-90^\circ.$



Kan definere forhold mellom maks spenning og strøm som for induktorer:

$$\boxed{\frac{V_e}{I} = \frac{1}{\omega C} \equiv X_c : \text{Kapasitiv reaktans.}}$$

(Men husk at også her er strøm og spenning ut av fase og ikke prop.)

Har igjen  $[X_c] = \Omega.$

Har altså motsatt effekt av  $X_L$ :  $X_c$  er liten for høye frekvenser og slipper da igjennom høy-frekvens strømmer, mens den er stor for lave frekvenser  $[X_c \rightarrow \infty \text{ for } \omega \rightarrow 0 \text{ (DC)}].$

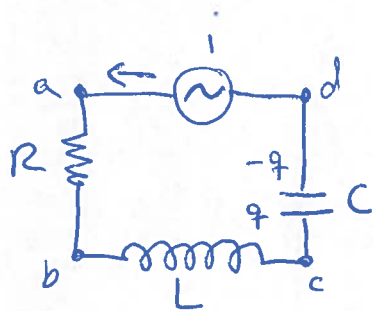
Kan da oppsummere som følger:

Kretselement	Forhold mellom amplituder	Kretsstrømelse	Fase til $v$
Resistor	$V_R = IR$	$R$	$0$ (i fase m/strøm)
Induktator	$V_L = IX_L$	$X_L = \omega L$	$+90^\circ$
Kondensator	$V_C = IX_C$	$X_C = \frac{1}{\omega C}$	$-90^\circ$

(kan forenklet sett tenke på  $X$  som en generalisert frekvens-  
 uavhengig resistans for AC strømmer, men husk at fasen endres  
 også)

### L-R-C krets

La oss nå kombinere alle disse komponentene i én krets:



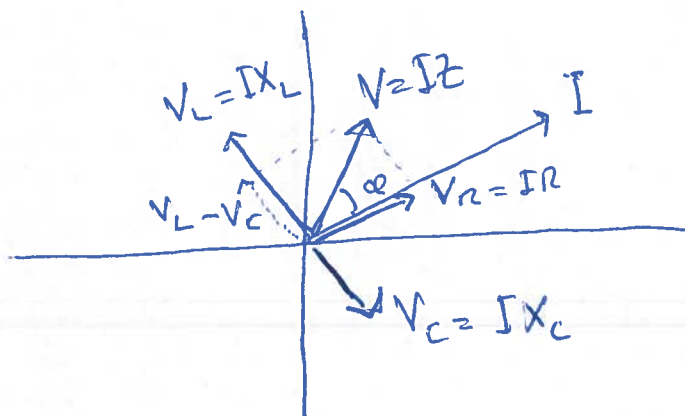
⊗ er en kilde til AC EMS som dermed  
 leverer en AC strøm.

Strømmen er den samme overalt siden dette  
 er en seriekobling:  $i = I \cos \omega t$ .

Kirchhoffs lov gir at spenningen levert av kilden  $V \equiv V_{ad}$   
 må være like total potensialforskjell for samtlige komponenter:

$$V_{ab} + V_{bc} + V_{cd} + V_{da} = 0 \Rightarrow -V_{da} = \underline{V_{ad} = V_R + V_L + V_C.}$$

Her er det viktig å ta hensyn til at  $L$  og  $C$  fører til en faseforskyning mellom  $v$  og  $i$ , så vi kan ikke bare legge sammen maks-amplitudene:



Total spenning er altså relater summen av de ulike bidragene.

Her antar vi  $X_L > X_C$ . Ser du at

$$V = \sqrt{V_R^2 + (V_L - V_C)^2} \quad \text{fra Pytagoras sats.}$$

$$\Rightarrow V = I \sqrt{R^2 + (X_L - X_C)^2} \quad \text{Definerer impedansen } Z \text{ for}$$

en generell AC krets:  $V = IZ$  hvor  $Z = \sqrt{R^2 + (X_L - X_C)^2}$  for spesialtilfellet RLC-krets.

$Z$  er altså en generalisering av resistans for vilkårlige AC kretser (serie eller parallell). Merk at  $Z$  er uendret for RLC-krets selv om vi antar  $X_C > X_L$ . Her  $[Z] = \Omega$  (som  $[X]$ ).

$Z$  er (som reaktans  $X$ ) en slags generalisering av resistans for generelle AC kretser.

DC strøm foretrekker å gå veien i kretsen med lavest  $R$

For samme  $\omega$ : AC strøm har tendens til å gå hvor det er lavest  $Z$ , men merk at  $Z$  er frekvens avhengig. For RLC-krets:

$$Z = \sqrt{R^2 + \left[ \omega L - \frac{1}{\omega C} \right]^2}$$

Hva med faseinkelen  $\alpha$ ? Fra viser diagrammet ser vi at

$$\tan \alpha = \frac{V_L - V_C}{V_R} = \frac{X_L - X_C}{X_R}$$

Anbefaler å prøve å gjøre tilsvarende analyse for en LRC parallell krets:



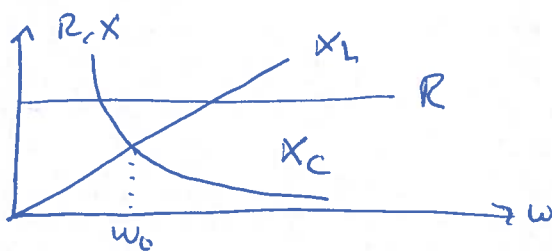
### Resonans i AC-kretser

Viktigheten til LRC-kretser:  $\omega$ -avhengigheten til strømmen.

Avhengig av parameter valg for  $L, R, C$  så vil strømmen være maksimal for en gitt frekvens, nemlig den hvor  $Z$  er minst.

Dette kalles resonans.

- Kan brukes til å velge ut en bestemt frekvens hvor vi vil ha et signal (f.eks. i radio). Vi vet at komponentene har følgende oppførsel sta.  $\omega$ :



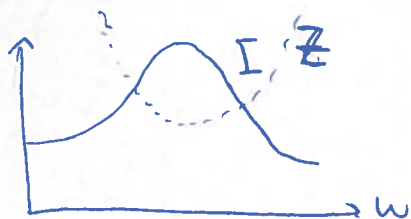
Vi fant ut for seriekoblet RLC-krets var:

$$Z = \sqrt{R^2 + (X_L - X_C)^2} \quad \text{Denne er minst når } X_L = X_C$$

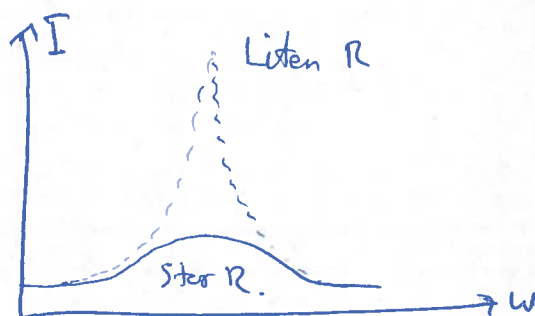
- Som inntreffer eksakt ved  $\omega = \omega_0$  : resonansfrekvens.

Den er gilt ved  $X_L = X_C \Rightarrow \omega_0 L = \frac{1}{\omega_0 C} \Rightarrow \omega_0 = \frac{1}{\sqrt{LC}}$ .

Ved denne frekvensen oppfører kretsen seg som om L og C ikke var til stede:  $Z = R$  og  $i$  er i fase med  $v$ .

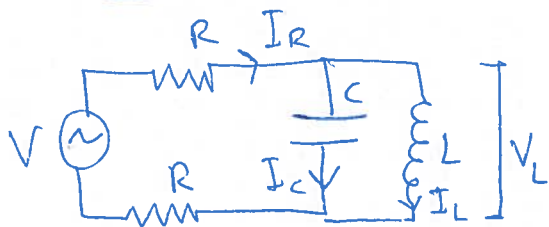


Jo lavere  $R$  er, jo skarpere blir resonans toppen ( $I$  divergerer formelt for  $R \rightarrow 0$ ):





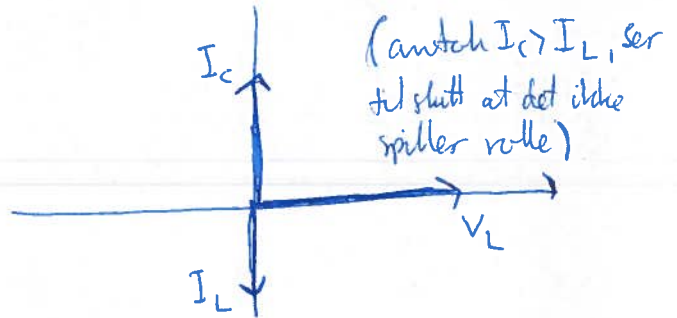
**EKSEMPEL** Videmotorsjen for klembo serie + parallell.



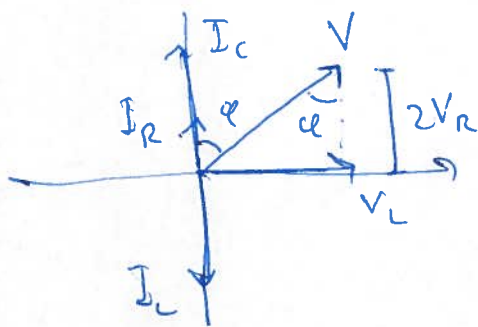
Finn fasevinkel  $\phi$  og impedans  $Z$ .

Definerer  $I_R, I_C, I_L$  som vist samt  $V_L$ .

Velg en referanserelektor og tegn de andre ut fra den. Trenger ikke være  $V$  eller  $I = I_R$ . Velger  $V_L$ :



Kirchhoff gir nå at  $I_R$  må være vektorsummen av  $I_L$  og  $I_C$ :



Men  $V$  må være vektorsum av  $2V_R$  og  $V_L$ . Vet at  $V_R$  og  $I_R$  er i fase: dermed  $\tan \phi = V_L / 2V_R$  hvor  $V_R = I_R R$ .

Trenger å finne et uttrykk for  $V_L$ . Vet at  $V = \sqrt{(2IR)^2 + V_L^2}$ .

Vet at amplitudene tilfredsstiller:

•  $V_L = I_L X_L = (I_C - I_R) X_L$

•  $V_L = I_C X_C = (I_L + I_R) X_C$

Alle  $V$  og  $I$  er her amplituder.

Da ser vi at:  $V_L = \left(\frac{V_L}{X_C} - I_R\right) X_L \Rightarrow V_L = \frac{I_R X_L X_C}{X_C - X_L}$

Da har vi:  $V = I \sqrt{4R^2 + \left(\frac{X_L X_C}{X_C - X_L}\right)^2} \Rightarrow Z = \sqrt{4R^2 + \left(\frac{X_L X_C}{X_C - X_L}\right)^2}$

og  $\tan \phi = \frac{X_L X_C}{2R(X_C - X_L)}$

EKSEMPEL (oppg. 31.41 i YF) [slutt eks. for Kap. 31].

Følgende krets kobles sammen i ~~seriell~~ parallell:

- P-p. kond. med firkantede plater (hver side 4.5 cm) i en avstand 8 mm fra hverandre.
- AC spenningskilde med amplitude 22.5 V og 650 rad/s.
- 75  $\Omega$  resistor
- Ideell solenoide som er 9 cm lang, tverrsnittsdiameter 0.5 cm = d og har 125 viklinger/cm.

Finn resonansfrekvensen til denne kretsen. (må altså her også bruke kunnskap fra tidl. kap.)  
 Hvor L og C ikke har noen effekt på impedansen.

Løsning Har altså en RLC-krets og har utledet at  $\omega_0 = \frac{1}{\sqrt{LC}}$ .

Trenger C og L. Vet at  $C = \frac{\epsilon_0 A}{d} = 2.24 \cdot 10^{-12} \text{ F}$  [ $A = (4.5 \text{ cm})^2$ ].

Induktans fra lang solenoide (i forhold til tverrsnitt):

$$L = \frac{\mu_0 AN^2}{l}$$

(utledet i fange kap.)

Her er  $N = 125 \frac{\text{viklinger}}{\text{cm}}$ , 9 cm = 1125 viklinger og

$$A = \pi \left(\frac{d}{2}\right)^2. \text{ Demmed } L = 3.47 \cdot 10^{-4} \text{ H.}$$

Setter inn:  $\omega_0 \approx \underline{\underline{3.6 \cdot 10^7 \text{ rad/s}}}$  (høy frekvens).

## KAPITTEL 32: ELEKTROMAGNETISKE BØLGER

Læringsmål:

- Forstå hvorfor en elmagn. bølge <sup>som propagerer</sup> må bestå av både el. og mag. felt.
- Hvordan lyshastigheten bestemmes av  $\epsilon$  og  $\mu$  (permittivitet og permeabilitet)
- Kunne beskrive propagering (forplantning) av en EM bølge og hvor mye energi den transporterer per tidsenhet (effekt).

Hva er lys? Svaret får vi (delvis) fra Maxwells likninger: i hvertfall det klassiske bildet hvor lys er en EM bølge.

Kvantemeh. vil dere lære at lys også oppfører seg som partikler i tillegg, men dette er en historie for en annen dag.

### Maxwells likninger og EM bølger

Vi har sett at  $\vec{B}(t)$  inducerer  $\vec{E}$ -felt mens  $\vec{E}(t)$  inducerer  $\vec{B}$ -felt. Ide: Kan disse feltene da indukere og opprettholde hverandre og sammen utgjøre et EM objekt

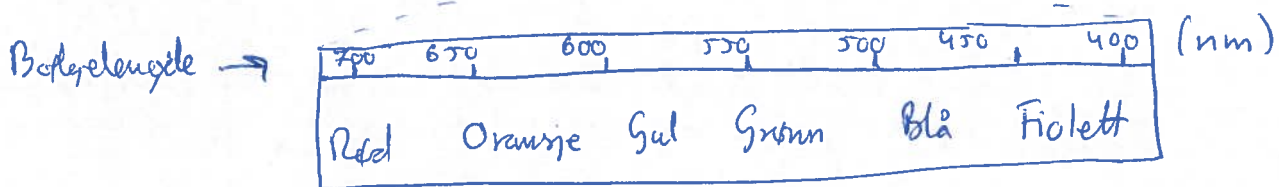
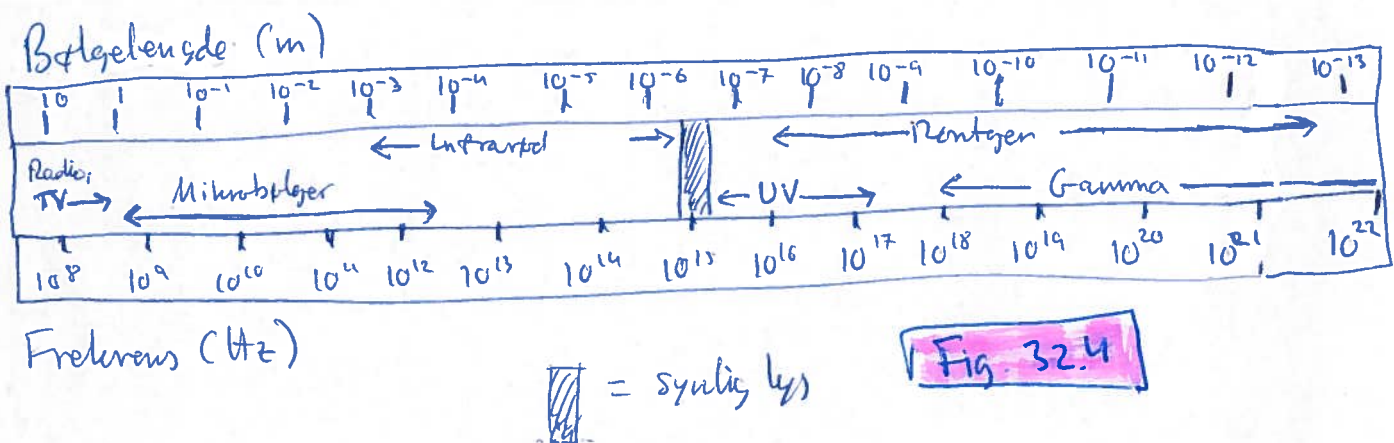
som bereger seg? | tillegg: dette burde isåfall kunne propogere objektet

i vakuum (dvs. uten et medium, som lydølger) siden  $\vec{E}$  og  $\vec{B}$  felt kan eksistere i vakuum.

Slike objekter eksisterer: kaller de EM bølger og skal vise dette fra Maxwells likninger.

Det finnes mange typer EM bølger: karakterisert ved deres frekvens (akkurat som vi får ulik type lyd for ulike frekvenser) eller bølglengde.

### Elektromagnetisk spektrum



(Tejn opp disse i pausen eller før forelesning for å spare tid.)

Grensene mellom ulike typer EM bølger er altså noe flytende.



Alle disse bølgerne har samme hastighet i vakuum (beholdt eksperimentelt):

$$c = \lambda f \approx 2.99 \cdot 10^8 \text{ m/s}$$

( $\lambda$ : bølglengde  
 $f$ : frekvens)

Hvitt lys er en blanding av alle synlige bølglengder.

Monokromatisk lys  $\equiv$  EM bølge bestående av en bestemt  $\lambda$   
(eller veldig smalt intervall rundt  $\lambda$ )

Ulike bruk for de forskjellige typene bølger:

- Radio/TV: nettet sier det - global kommunikasjon
- Mikrobølger: mobiltelefoner, trådløse nettverk samt matlaging!
- Infrarød: kameraser (justere fokus basert på reflektert IR stråling)
- Røntgen: medisin, lage bilder hos f.eks. tannlege  
[de går gjennom kroppene (lyst) mykt]
- Gamma: svært høy energi, går gjennom "alt",  
brukes i medisin som kreftbehandling.

Beskrivelsen av nøyaktig hvordan EM stråling skapes kvantitativt er komplisert, men en kan vise fra Maxwells likn. at

- En ladning i ro skaper et statisk  $\vec{E}$ -felt. ( $\checkmark$ )
- En ladning i bev. med konstant fart skaper et  $\vec{B}$ -felt ( $\checkmark$ )
- En akselererende ladning skaper EM bølger.



Vi kommer i resten av kapitlet til å fokusere på beskrivelsen av bølger når de først har oppstått - ikke nødvendigvis hvordan de gjør det.

Gjentar Maxwell siden vi får bruk for det:

$$\oint \vec{E} \cdot d\vec{A} = \frac{Q_{\text{end}}}{\epsilon_0} \quad (\text{Gauss' lov})$$

$$\oint \vec{B} \cdot d\vec{A} = 0 \quad (\text{Gauss' lov for magnetisme})$$

$$\oint \vec{B} \cdot d\vec{l} = \mu_0 \left( i_c + \epsilon_0 \frac{d\Phi_E}{dt} \right)_{\text{end}} \quad (\text{Amperes lov})$$

$$\oint \vec{E} \cdot d\vec{l} = - \frac{d\Phi_B}{dt} \quad (\text{Faradays lov})$$

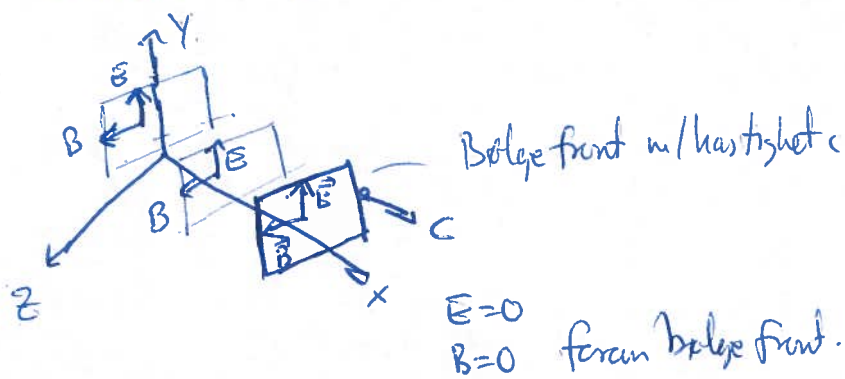
~~Dette gjelder for vakuum / materiale:  $\epsilon_0 \rightarrow \epsilon$ ,  $\mu_0 \rightarrow \mu$   
 Dessuten  $\epsilon = \epsilon(\vec{r})$ ,  $\mu = \mu(\vec{r})$  må de flyttes innenfor  
 integralene [  $\vec{E}$  i Amperes lov flyttes inn i ind. som gir  $\frac{d\Phi_E}{dt}$  ]~~

## EM planbølger og lyshastigheten

Vi viser her at eksistensen av EM planbølger er konsistent med Maxwell's lover så fremt lyshastigheten  $c$  har en bestemt verdi.

Planbølge - :  $\vec{E}$  og  $\vec{B}$  ligger i et plan  $\perp$  propageringsretningen (hastighet) til EM bølgen og er uniforme i det planet for all tid og plass til planet

Undersøker først om følgende elementære bølge er tillatt:



Dette er "snapshott" ved gitt tid  $t$ .  $\vec{E}$  og  $\vec{B}$  er uniforme i hvert plan bak fronten.

En slik bølge tilfredsstiller  $\oint \vec{E} \cdot d\vec{A} = 0$  og  $\oint \vec{B} \cdot d\vec{A} = 0$

for en vilkårlig 3D boks  siden det er null

ladning inne i boksen. Menk at bølgen ikke tilfredsstiller dette dersom  $E_x \neq 0$  eller  $B_x \neq 0$ , når vi velger høyre flate til å ligge foran bølgefronten.  $\Rightarrow \vec{E}$  og  $\vec{B}$  må være  $\perp \vec{v}$ : transversal bølge.

Da gjenstår å sjekke Faradays lov og Ampères lov.

Dette kan gjøres ved å velge diverse testflater i  $xy$ - og  $zx$ -planet.

Føll utledning i boken, her oppsummerer vi kun hovedresultatet:

Faradays lov er tilfredsstilt forutsatt at  $E = cB$ .

Ampères

$$B = \epsilon_0 \mu_0 c \cdot E$$

Begge relasjonene må være tilfredsstilte samtidig for konsistens med

● Samtlige Maxwells lover  $\Rightarrow c = \frac{1}{\sqrt{\epsilon_0 \mu_0}} \approx 2.99 \cdot 10^8 \text{ m/s}$  - lyshastighet!

Planbølgen er altså konsistent med Maxwell hvis:

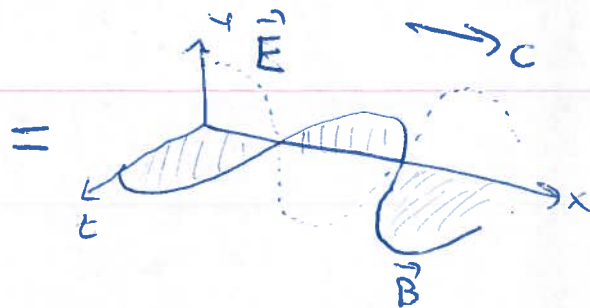
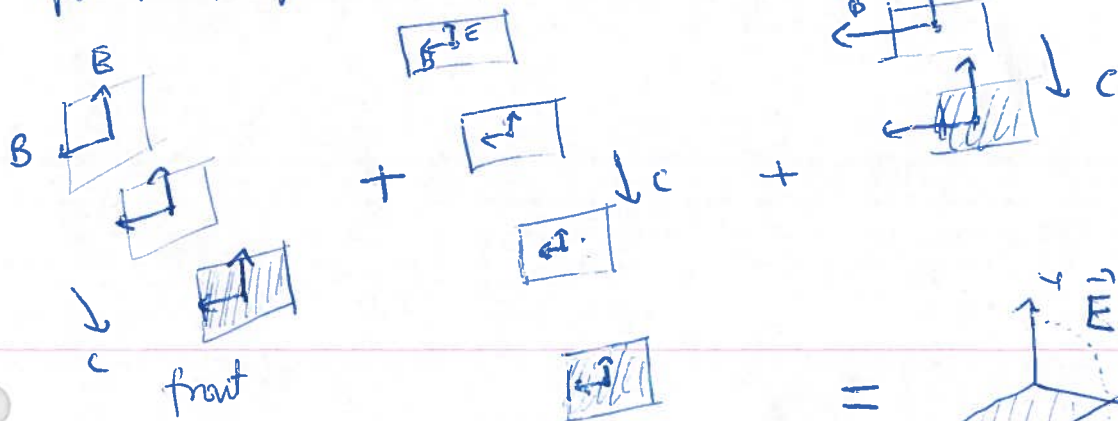
- Den er transversal ( $\vec{E} \perp \vec{v}$ ,  $\vec{B} \perp \vec{v}$ ):  $\vec{v} \parallel \vec{E} \times \vec{B}$ .
- Den beregnes seg med lyshastighet  $c$ .
- Forholdet mellom  $E$  og  $B$  er:  $\frac{E}{B} = c$ .

Men hvordan bølgen ikke er avhengig av noe medium for å propagere: utregningene gjort i vakuum.

### Generalisering til romlig varierende planbølge

Vi vet at  $\vec{E}$  og  $\vec{B}$  oppfyller superposisjonsprinsippet - dersom flere felt er til stede, er totalt felt helt enkelt summen av feltene.

Tenk deg at vi legger sammen flere bølger som hver bølge fronter på forskjellige steder og ulike verdier på  $\vec{E}$  og  $\vec{B}$ :



Fremdeles planbølge, men varierende langs propageringsretning.  
 $\vec{E}$  og  $\vec{B}$  felt

Siden vi måtte ha  $E=cB$ , er  $\vec{E}$  og  $\vec{B}$  alltid i fase med hverandre.

Polariseringen til en EM bølge bestemmes ut fra retningen  $\vec{E}$  peker i.

Dersom  $\vec{E}(x)$  alltid peker langs samme akse (selv om  $B$  varierer):

lineært polarisert bølge. Enhver type EM bølge kan representeres

som en superposisjon av bølger lineært polariserte langs aksene  $\perp$  prop. retningen. (kan også få sirkulært pol. bølger).

Man kan også utlede en generell bølge likning (analogt som for mekaniske bølger) fra Maxwells likninger av typen (lijent fra mekanikk)

$$\frac{\partial^2 \psi(x,t)}{\partial x^2} = \frac{1}{v^2} \frac{\partial^2 \psi(x,t)}{\partial t^2} \quad \text{hvor } v=c \text{ for EM bølger og } \psi = \{E_y, B_z\}$$

dis. feltamplitudene for en bølge som propagerer i x-retning.

### Sinusoidale EM bølger

Skal se nærmere på en bestemt type EM bølge:

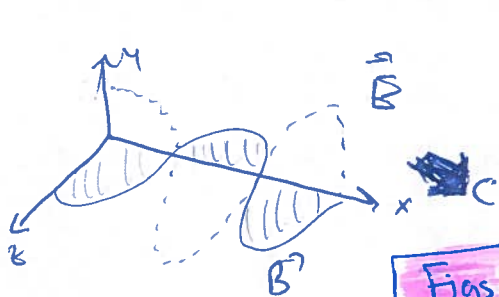
~~amplitude~~ -  $\uparrow$  avhengighet ved gitt posisjon  $x$  og samtidig ~~amplitude~~  $-x$

avhengighet ved gitt tid  $t$ .



For en lineært polarisert sinusoidal bølge har vi dermed:

$$E_y = E_{\max} \cos(kx - \omega t), \quad B_z = B_{\max} \cos(kx - \omega t)$$



$$\vec{E} \times \vec{B} \parallel \vec{v} \quad (\text{h.h. regel})$$

NB! Motsatt hastighet

Figs. 32.13 and 32.14



$\{E_{\max}, B_{\max}\}$ : amplitudene til feltene

$k$ : bølgetall definert ved  $k = \frac{2\pi}{\lambda}$  ( $\lambda$  = bølglengde)

$\omega$ : vinkel frekvens definert ved  $\omega = 2\pi f$  ( $f$  = frekvens)

Relasjon mellom  $\lambda$  og  $f$  er standard (som for mech. bølger)

$$c = \lambda f \quad \text{for en periodisk bølge.}$$

Vi vet at  $\vec{E}$  og  $\vec{B}$  må være i fase og at  $E_{\max} = c B_{\max}$

for en EM bølge i vakuum. NB! En planbølge hvor  $\vec{E}$  og  $\vec{B}$  er konstante i et gitt plan (dvs. uendelig rekkevidde) er en idealisering som likevel er nyttig for å beskrive propagerende lysbølger innenfor et gitt areal hvor feltene kan tas som tilnærmet konstante.  
som de passerer igjennom

EM bølge i materie

EM bølger kan også propagere i materie - her generaliserer vi vårt tidligere rammerokk fra vakuum til dielektrika.



$V_i$  har tidligere sett at pga. industert polarisering i et dielektrikum, må vi la  $\epsilon_0 \rightarrow \epsilon$ . På samme vis:  $\mu_0 \rightarrow \mu$ . Dette påvirker lyshastigheten siden:

$$c \Rightarrow \frac{1}{\sqrt{\epsilon\mu}} = \frac{1}{\sqrt{K K_m}} \frac{1}{\sqrt{\epsilon_0 \mu_0}} = \frac{c}{\sqrt{K K_m}}$$

Hastighet til EM bølge i dielektrikum: 
$$v = \frac{c}{\sqrt{K K_m}}$$

Minner om at  $K$ : dielektrisk konstant ( $\epsilon = K \epsilon_0$ )  
og  $K_m$ : relativ permeabilitet ( $\mu = K_m \mu_0$ ).

Anta ikke-magnetisk isolator:  $K_m \approx 1 \Rightarrow v = \frac{c}{\sqrt{K}}$ .

Siden  $K > 1$  for alle materialer, ser vi at  $v < c$  holder uansett materiale. Forholdet  $\frac{c}{v} \equiv$  brytningsindeks  $n$  til materialet.

Merk at  $K$  som vi listet opp tidligere er dielektrisk konstant for de (konstante)  $\vec{E}$ -felt. I realiteten er  $K = K(\omega)$  og  $K$  blir kraftig redusert for ac felt. Spør: hvorfor?

Svar: ikke tid for elektriske dipoler å reorientere seg når feltet bytter retning raskt  $\Rightarrow$  lavere netto polariseringseffekt.

## Energi og bev. mengde i EM bølger

Energien i EM bølger utnyttes i mange forskjellige sammenhenger: sollys, mikrobølgeovn, laserkirurgi.

Utgangspunkt er likningene vi etablerte i tidligere kapittel for energitetthet i  $\vec{E}$  og  $\vec{B}$  felt:

$$U = \frac{1}{2} \epsilon_0 E^2 + \frac{1}{2\mu_0} B^2$$

Vi så istedet for vakuum EM bølge måtte vi ha  $E = cB$ .

Umsatt: 
$$U = \frac{1}{2} \epsilon_0 E^2 + \frac{1}{2\mu_0} (\sqrt{\epsilon_0\mu_0} E)^2 = \epsilon_0 E^2$$

$\Rightarrow$  energitetthet for  $\vec{E} = \dots$  for  $\vec{B}$ .

For en sinusoidal EM bølge i vakuum må  $U = U(\vec{r}, t)$  siden  $\vec{E}$  (og  $\vec{B}$ ) varierer.

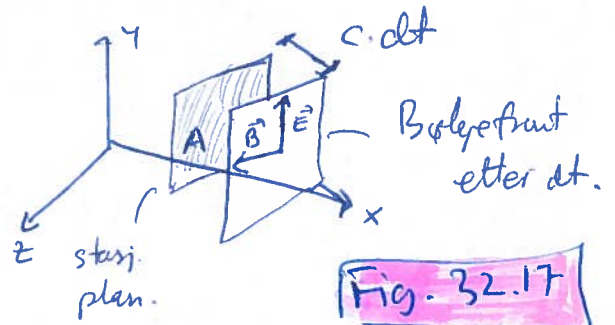
## Poynting vektor

En bølge av typen vi har sett på,  $\sim \sin(kx - \omega t)$ , propagerer gjennom rommet og transporterer energi.

Ønsker å uttrykke transportert energi pr. tid og pr. tverrsnittsareal som bølgen beveger seg gjennom.

Betrakt et stasjonsrest plan som ved en gitt tid ligger i

$\vec{E} - \vec{B}$  planet til bølgefronten:



Mengden energi som passerer arealet

$A$  i løpet av tiden  $dt$  må være

lik energitetthet ganger volum til området mellom planene i figuren:

$$dU = u \cdot dV = u \cdot \underbrace{(A \cdot c \cdot dt)}_{dV} = \epsilon_0 E^2 A c \cdot dt$$

Energiflyt pr. tid og areal er da:

$$S \equiv \frac{1}{A} \cdot \frac{1}{dt} \cdot dU = \epsilon_0 c E^2 \quad (\text{i vakuum}).$$

Men vi vet at siden  $c = \frac{1}{\sqrt{\epsilon_0 \mu_0}}$  og  $E = cB$  får vi:

$$S = \frac{EB}{\mu_0} \quad [S] = \frac{W}{m^2} \quad (\text{effekt per areal}).$$

Vi kan nå definere en vektor som både beskriver retning og størrelse til energiflyten:

$$\boxed{\vec{S} = \frac{1}{\mu_0} \vec{E} \times \vec{B}} \quad (\text{Poynting vektor})$$

Kan da f.eks. beregne totalt energiflyt ut av et volum pr. tid

ved å integrere  $\vec{S}$  over arealet som inneslutter volumet:

$$P = \oint \vec{S} \cdot d\vec{A}$$

For sinusoidale bølger har  $\vec{E} = \vec{E}(x,t)$  og  $\vec{B} = \vec{B}(x,t) \Rightarrow \vec{S}$  er også en funksjon av  $t$ . For raske variierende bølge er det mer praktisk å se på gjennomsnittsverdien  $\langle \vec{S} \rangle$  for forsting verdier ved et gitt punkt i rommet.  $(\langle S \rangle = \frac{1}{T} \int_0^T S dt.)$

$\langle |\vec{S}(x,t)| \rangle \equiv$  intensiteten  $I$  til EM stråling i  $x$ .

La oss beregne dette for vår tidligere bølge:

$$\vec{E}(x,t) = \hat{y} E_{\max} \cos(kx - \omega t), \quad \vec{B}(x,t) = \hat{z} B_{\max} \cos(kx - \omega t)$$

$$\Rightarrow \vec{S} = \frac{1}{\mu_0} E_{\max} B_{\max} \cos^2(kx - \omega t) \hat{x}.$$

Siden  $\cos^2 \theta = \frac{1}{2}(1 + \cos 2\theta)$  og  $\int_0^{2\pi} \cos[2(kx - \omega t)] dt = 0$

er det kun konstantleddet i

$$S_x = \frac{B_{\max} E_{\max}}{2\mu_0} [1 + \cos 2(kx - \omega t)] \quad \text{som bidrar til } \langle \vec{S} \rangle.$$

$$\text{Dermed: } \langle S_x \rangle = \langle |\vec{S}| \rangle = \frac{E_{\max} B_{\max}}{2\mu_0} = I$$

(Halparten av max utslag for  $S_x$ ). Gjennomsnittseffekt for energiflyt gjennom et areal  $A$  kan da uttrykkes som:

$$P_{\text{areal}} = I \cdot A.$$

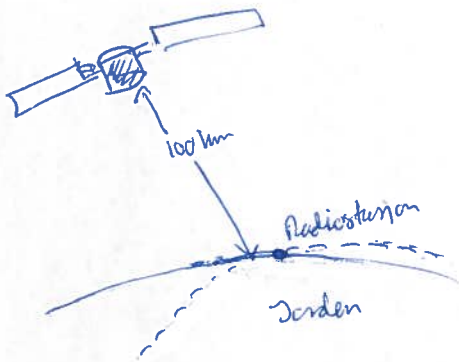
For en bølge som propagerer gjennom materie, gjør vi som vanlig:

$$\epsilon_0 \rightarrow \epsilon, \mu_0 \rightarrow \mu \text{ og dermed } c \rightarrow v = \frac{1}{\sqrt{\epsilon\mu}}$$

Det betyr at  $v_E = v_B$  selv i materialer (bevist ikke her).

**EKSEMPEL** En radio stasjon sender ut en sinusoidal EM

bølge med gjennomsnittseffekt 50 kW totalt. Anta en idealisert situasjon hvor strålingen emitteres likt i alle retninger over bakken. Finn  $E_{\max}$  og  $B_{\max}$  detektert av en satellitt 100 km unna.



Vet at intensitet  $I$  i en avstand  $r = 100$  km må være

$I = \frac{P}{A}$  hvor  $A = 2\pi r^2$  er overflatearealet til en kule.

Det gir  $I = 7.96 \cdot 10^{-7} \text{ W/m}^2$ .

Siden vi vet at  $I = \langle |\vec{S}| \rangle = \frac{E_{\max}^2}{2\mu_0 c}$  får vi:

$$E_{\max} = \sqrt{2\mu_0 c I} = 2.45 \cdot 10^{-2} \text{ V/m}$$

Til slutt:  $B_{\max} = \frac{E_{\max}}{c} = 8.17 \cdot 10^{-11} \text{ T}$  (som påkrevd for at EM bølgen skal tilfredsstille Maxwells likn.)



## Elektromagnetisk flukt av beregelsesmengde og strålingstrykk

Vi brukte at  $\vec{E}$  og  $\vec{B}$  felt har en energitetthet til å utlede transportert energi av en EM bølge. Man kan også vise

(gjøres ikke her\*) at EM bølger transporterer beregelsesmengde med en tetthet (ber. mengde per volum)

$$\frac{dp}{dV} = \frac{\epsilon B}{\mu_0 c^2} = \frac{S}{c^2}$$

Kan forties via partikkel-egenskapen til lys: fotoner bærer ber. mengde.

Dette er en egenskap til EM feltet. Finnes også en tilsvarende transportrate av ber. mengde: siden  $dV = A \cdot c \cdot dt$  får vi overført ber. mengde  $dp$  pr. areal  $A$  og tid  $dt$ :

$$\left[ \frac{1}{A} \cdot \frac{dp}{dt} = \frac{S}{c} = \frac{\epsilon B}{\mu_0 c} \right] \quad (\text{transportrate av elmag. ber. mengde})$$

Midlere transportrate får vi ved å ta  $\frac{1}{A} \cdot \frac{\langle dp \rangle}{dt} = \frac{\langle S \rangle}{c} = \frac{I}{c}$ .

Ber. mengden er ansvarlig for strålings trykk: dersom en overflate absorberer en EM bølge må dens ber. mengde ha blitt overført til overflaten.

Vi vet at endring  $\frac{dp}{dt}$  er lik en kraft på overflaten.

\* Har å gjøre med at lys består av fotoner med  $E = pc$  selv om massen er null, men kan også sees fra relativistiske, klassiske argumenter.

⇒ Trykk  $P_{\text{rad}} = \frac{F}{A} = \frac{1}{A} \frac{dp}{dt}$ , men dette har vi jo vist:

$$P_{\text{rad}} = \frac{I}{c}$$

(EM bølge fullstendig absorbert).

Hva blir trykket om bølgen reflekteres fullstendig? (spør Ulesten)

To ganger så stort pga. reflektert bev. mengde:  $P_{\text{rad}} = \frac{2I}{c}$  (reflektert EM bølge).